

ژئوشیمی ایزوتوب‌های پایدار کربن و اکسیژن در کانسار غیر سولفیدی روی، سرب و مولیبدن احمدآباد (شمال باختر بهاباد)

سara امانی لاری^۱، ایرج وسا^۲ و علی امری^۳

^۱دانشجوی دکترا، گروه زمین‌شناسی، واحد تهران شمال، دانشکاه آزاد اسلامی، تهران، دانشگاه فرهنگیان، تهران، ایران

^۲استاد، گروه زمین‌شناسی، دانشکده علم زمین، دانشگاه شهید بهشتی - گروه زمین‌شناسی، واحد تهران شمال، دانشگاه آزاد اسلامی، تهران، ایران

^۳استادیار، گروه زمین‌شناسی، واحد زرند، دانشگاه آزاد اسلامی، کرمان، ایران

تاریخ پذیرش: ۱۳۹۵/۰۶/۰۶ تاریخ دریافت: ۱۳۹۵/۰۱/۱۶

چکیده

کانسار احمدآباد یکی از کانسارهای سرب و روی در کمرنده فلززایی کوهبنان- بهاباد است که در ۱۰ کیلومتری شمال باختر بهاباد در بلوك پشت‌بadam از پهنه ایران مرکزی قرار گرفته است. کانسنگ شامل تجمعات کانی‌های غیر سولفیدی روی، سرب، مولیبدن و استراتیسم به همراه مقادیر فراوانی اکسید و هیدروکسیدهای آهن است که در سنگ میزان دلومیتی سازند شتری جای گرفته‌اند. یک رگه کوارتزی- کلیتی نیز ماده معدنی را در سنگ میزان دارند. این مطالعه روی تغییرات ایزوتوبی کربن و اکسیژن کانسنگ کربناته روی، رگه کوارتزی- کلیتی و سنگ میزان دلومیتی خسر کرده است. مقادیر ایزوتوبی کربن سنگ میزان و رگه کلیتی متفاوت است. مهم‌ترین منع تأمین کربن برای شکل گیری هیدروزنسیت سنگ‌های کربناته منطقه هستند و از این نظر متفاوت با دیگر کانسارهای غیر سولفید مطالعه شده در جهان است. برای تغییرات ایزوتوبی اکسیژن، دمای تشکیل هیدروزنسیت میان ۱۶ تا ۴۴ درجه سانتی گراد در نوسان است. تغییرات ایزوتوبی اکسیژن در رگه کوارتزی- کلیتی، آب‌های حوضه‌ای دریایی را به عنوان مشاهد می‌کند. دلومیت میزان نیز از سیال‌هایی تهنشت شده است که مقادیر ایزوتوبی اکسیژن آنها آمیختگی میان آب‌های ماقنایی و دریایی را نشان می‌دهند.

کلیدواژه‌ها: ایزوتوب اکسیژن و کربن، کانسار غیر سولفید روی- سرب و مولیبدن، کانسار احمدآباد.

E-mail: sara.amanilari@yahoo.com

*تلویضنده مسئول: سارا امانی لاری

۱- پیش‌نوشته

کوهبنان، بهنانه، احمدآباد و اسنگ جای گرفته‌اند (شکل ۱). واحدهای سنگ منطقه شامل ماسه‌سنگ‌های کامبرین، واحدهای کربناتی تریاسی، گچ، آهک، شیل و ماسه‌سنگ ژوراسیک است (شکل ۲). این واحدهای ابتدا تمعت تأثیر گسل فشارشی کوهبنان قرار گرفته و سپس در اثر گسل‌های راندگی احمدآباد دچار برگشگی شده‌اند (کمالی فرج‌الهزاده، ۱۳۸۳)، به طوری که واحدهای ژوراسیک بخش‌های بایینی و واحدهای تریاسی ارتفاعات را می‌سازند (شکل ۲C). محصول علیکرد این فازهای زمین‌ساختی تاقدیس برگشته با محور مستایل به خاور است. بخشی از واحد دلومیتی (TRSh3) سازند شتری که در یال برگشته این تاقدیس قرار دارد، میزان کانسار احمدآباد است.

۲- روش کار

به منظور تعیین ترکیب ایزوتوب‌های پایدار کربن و اکسیژن در کانسار احمدآباد نمونه‌های مناسب از سنگ میزان به فاصله زیاد و دور از محیط کانه‌سازی برداشت و از کانسنگ کربناته روی (هیدروزنسیت) و رگه کوارتزی کلیتی (شکل ۳) نیز نمونه گیری انجام شد. پس از خرد شدن و شستشوی نمونه‌ها با آب مطر و استرن، کانی‌های تتریاً خالص با میکروسکوپ دوچشمی جدا شدند. آماده‌سازی اولیه در سازمان زمین‌شناسی صورت گرفت. برای آماده‌سازی پایانی و انجام تعزیزی‌های ایزوتوبی، نمونه‌ها به آزمایشگاه ALS در اونتاریو کانادا فرستاده شدند. نمونه‌ها پس از پودر شدن با هاون آگاتی و آماده‌سازی پایانی در واحد پژوهش MORU دانشگاه بریشیش کلیسا تعزیزی شدند. استاندارد میزان تغییرات برای هر کدام از تعزیزی‌های کربن و اکسیژن برابر با 0.1% است. داده‌های ایزوتوبی کربن و اکسیژن مربوط به نمونه‌های معدن احمدآباد در جدول ۱ آمده است.

۳- توصیف کانسنگ

گالن، اسفالتی و پیریت کانی‌های اصلی کانسنگ سولفیدی اولیه بوده‌اند؛ اما در حال حاضر، کانسنگ غیر سولفیدی، ماده معدنی اصلی است. ولنتی، سروزیت و

یش از ۴۰ کانسار و نشانه معدنی روی و سرب در کمرنده کانه‌زایی بهاباد کوهبنان شناسایی شده است (امیری و رس، ۱۳۸۵). این کمرنده در بلوك پشت‌بadam از پهنه ایران مرکزی است. سنگ میزان اصلی این کانسارها دلومیت و سنگ‌های آهک دلومیتی سازند شتری است. شکل ماده معدنی در آنها رگه‌ای بوده که در پیش‌مورد راستای رگه‌ها با چینه‌بندی همچوivan است (امیری و رس، ۱۳۸۵) و همکاران، (۱۳۸۸). کانسار احمدآباد در شمال این کمرنده در ۸۰ کیلومتری شمال خاوری باقی و ۱۰ کیلومتر شمال باختری بهاباد قرار گرفته است (شکل ۱A). کانسنگ شامل کانی‌های کالامین، سروزیت، ولنتیت و سلسین است. با گشتش روش‌های بازیافت ارزان کانسنگ غیر سولفیدی روی و سرب، اهمیت اقتصادی این کانسارها بسیار افزایش یافته است و مردم توجه و پژوهشی قرار گرفته‌اند (Hitzman et al., 2001; Boni and Large, 2003; Borg, 2009; Hitzman et al., 2003 استخراجی کهن در منطقه احمدآباد یانگر پیشینه طولانی فعالیت معدنی در این مکان است. کارهای جدید مربوط به یش از ۴۰ سال پیش بوده و شامل ۸ تونل اکشافی و استخراجی است (شکل ۲A). برخی از پژوهشگران (مانند جوانشیر و همکاران، ۱۳۸۶) بر پایه مطالعات ساخت و بافتی کانسنگ، این کانسار را سین زنیک و مشابه به کانسار بلایرگ دانسته‌اند. در این پژوهش از روش مطالعه ایزوتوب‌های پایدار کربن و اکسیژن به منظور پی بردن به وجود ارتباط معنی دار میان دلومیت میزان، رگه کلیتی و کانسنگ استفاده شده است. داده‌های ایزوتوبی، دمای تشکیل و مشابه کربن در کانسنگ غیر سولفیدی، رگه کلیتی و سنگ میزان را مشخص کرده است. الگوی‌های بهنجار شده حاصل از تعزیزی شیمیایی عناصر خاکی کمیاب و کمیاب از نتایج حاصل پیشیانی می‌کند (امانی لاری، ۱۳۹۵) و این نتایج منطقه شواهد زمین‌شناسی منطقه احمدآباد است.

۴- جایگاه زمین‌شناسی

کانسار احمدآباد در بلوك پشت‌بadam و در مجاورت بلوك بزرگ در پهنه ایران مرکزی قرار گرفته است. همه سکانی‌چینه‌ای در یک بلوك گسلی مشکل از گسل‌های

با توجه به قرارگیری معدن احمدآباد میان مدارهای 31° تا 32° عرض جغرافیایی شمالی، آب‌های جوی منطقه دارای ترکیب ایزوتوپی اکسیژن در حدود ۵/۵‰ هستند (Shkel ۳ Bowen and Revenaugh, 2003). با توجه به تشابه مقادیر ایزوتوپی دو کانی اسیت‌سوئیت و هیدروزنسیت (Bonni et al., 2003) می‌توان مقادیر مربوط $^{18}\text{O}_{\text{snow}}$ هیدروزنسیت را در نمودار شکل ۵ A جایگزین کرد. این نمودار نشان می‌دهد کربنات‌های روی احمدآباد در محدوده دماهی 14° تا 44° سانتی‌گراد با میانگین 29° درجه سانتی‌گراد تشکیل شده‌اند. محدوده دمای تشکیل کانی‌های اسیت‌سوئیت در مناطق برونزاد برخی از کانسارهای جهان میان 8° تا 30° درجه سانتی‌گراد با میانگین $20 \pm 6^{\circ}$ درجه سانتی‌گراد است (Gilg and Boni, 2004).

همان‌گونه که مشخص است، دمای تشکیل کربنات‌های روی در منطقه احمدآباد به طور خیرمصور بیشتر از محدوده دماهی گزارش شده توسط Gilg et al. (2003) است. این افزایش دما می‌تواند ناشی از آزاد شدن گرمای طول اکسایش سولفیدها باشد (Bonni et al., 2003).

۲. گلست

مقادیر اندازه‌گیری شده ایزوتوپی نمونه‌های گلست کربناتی متعلق به رگه کوارتری گلستی همراه با پهنه کانی‌سازی شده در جدول ۱ آورده شده است. تغییرات مقادیر ^{13}C -PDB 8° برای نمونه‌ها بسیار کوچک و در محدوده $3/43\text{‰}$ تا $3/42\text{‰}$ و 8° ^{18}O -SMOW (60° میان $19/8\text{‰}$ تا $20/6\text{‰}$) قرار می‌گیرد. در نمودار شکل ۷ مقدار 8° ^{13}C -PDB کلست‌های بلورین احمدآباد، با گلست‌های دیگر کانسارهای غیرسولفید مطالعه شده، مقایسه شده است. همان‌گونه که مشخص است، کربن گلست‌های احمدآباد به غیر از گلست‌های معدن جبلی (Yin, 2014) و انگوران (Iran; Mondillo et al., 2007) از گلست دیگر کانسارهای غیرسولفید مطالعه شده سنتگین‌تر است (شکل ۶). مقادیر منفی برای ^{13}C -PDB 8° کلست بلورین می‌تواند بیان کننده رسوب گذاری رگه گلستی در طی واکنش میان سیال‌های کانی‌زای اسیدی و سنتگ‌های میزان، آزاد شدن گاز CO_2 و یا اشاع سنتگ از محتوا مواد آلی باشد. این عوامل می‌تواند سبب انحلال و تهشیت کربنات‌ها شود (Levresse et al., 2003). وجود دامنه گسترده کربن منفی می‌تواند نشانگر توزیع کربن سبک مواد آلی در سیال‌ها باشد. اما از آنجا که این سیال‌ها نسبت به سنتگ میزان، محتوای ^{13}C کمتری دارند و از سوی دیگر این محضرا بیشتر از گلست‌هایی است که کربن موجود در آنها دارای ترکیب آب جوی است؛ می‌توان گفت که آب‌های جوی روی ترکیب آب‌هایی که گلست از آن تهشیت شده است مؤثر بوده‌اند. نتایج حاصل از میانهای سیال نیز آمیختگی میان سیال‌ها در کانی گلست را تأیید می‌کند (اماکن لاری, ۱۳۹۵).

8° ^{18}O -PDB (‰) کانی‌های گلست برابر با $9/99\text{‰}$ تا $9/94\text{‰}$ است. این مقدار مطلق بر محدوده اکسیژن گرمابی معروف شده توسط Diehl et al. (2010) است. داده‌های حاصل از مطالعات دماستحی میانهای سیال نیز این مورد تأیید می‌کند (اماکن لاری, ۱۳۹۵). 8° ^{18}O -SMOW (‰) نمونه‌های گلستی رگه کوارتری گلستی شده در گلست‌های دیگر کانسارهای غیرسولفید (‰) است. اندازه‌گیری شده در گلست‌های دیگر کانسارهای غیرسولفید (‰) است که با مشاهده جوی اکسیژن موجود در ترکیب گلست‌ها سازگاری نشان می‌دهد (Coppola et al., 2009). از سوی دیگر می‌توان تغییرات ایزوتوپی اکسیژن به سوی افزایش مقادیر سنتگین‌تر را نشان‌دهنده سردشده سیال در مراحل پایانی دانست (Levresse et al., 2003).

آب‌های گرمابی تشکیل دهنده گلست‌ها در احمدآباد، دمای بالاتری داشته‌اند.

۳. دولومیت

نمونه‌های واحد دولومیتی میزان به فاصله دور از رگه گرمابی کوارتری گلستی و جایی که کانی‌زای صورت نگرفته است، برای انجام تعزیزه ایزوتوپی انتخاب شد. ترکیب ایزوتوپی اکسیژن در نمونه‌ها، میانگینی برابر با $24/75\text{‰}$ دارد و مقدار میانگین ایزوتوپی کربن برابر با $0/43\text{‰}$ است. این مقدار در محدوده ترکیب ایزوتوپی دولومیت‌های

سلستین از دیگر کانی‌های فراوان در کانسار هستند (شکل ۳ D) و همراه با هم در کاربنایی گالن دیده می‌شوند (شکل ۳ E). فازهای زمین ساختی سبب خردشگی گالن (شکل ۳ F) و دیگر کانی‌های سولفیدی اولیه شده و زمینه تبدیل به کانی‌های ثانویه را فراهم کرده‌اند. کانی همی مورفیت به همراه هیدروزنسیت تشکیل دهنده اصلی کالامین هستند (شکل‌های G, H و I). در این مطالعه کانی اسیت‌سوئیت شناسایی نشد. کانی ولنیت به همراه همه کاندها، به ویژه اکسید و هیدروکسیدهای آهن به فراوانی دیده می‌شود (شکل ۳ C). رگه کوارتری کلستی در توپل ۲، ۴ و ۸ همراه با کانی‌های اکسیدی هیدروکسیدی آهن، سروزیت، سلسن، ولنیت و فلوریت قابل بیکری است (شکل‌های ۳ B و C).

۵- بحث (داده‌های ایزوتوپی کربن و اکسیژن)

۵-۱. هیدروزنسیت

نظر به اینکه مقادیر ایزوتوپی کربن و اکسیژن مربوط به کانی هیدروزنسیت بسیار مشابه کانی‌های اسیت‌سوئیت است (Bonni et al., 2003) و این نسبت‌ها برای کانی هیدروزنسیت در محدوده کانی اسیت‌سوئیت فراز مریم گرد (Gilge et al., 2008) مقادیر ایزوتوپی کربن اکسیژن مربوط به کربنات‌های روی احمدآباد با اسیت‌سوئیت در دیگر کاسارهای غیرسولفید مقایسه شده است (شکل ۴). تغییرات ایزوتوپی کربن اسیت‌سوئیت کاسارهای غیر سولفیدی در سطح دنی مشخص کننده آینه‌گی ترکیی از سنتگ میزان و مواد آلی کربن دار موجود در خاک و یا اکسایش باکتریایی است (Gilge et al., 2008). داده‌های مربوط به مقادیر ^{13}C -PDB کانی هیدروزنسیت احمدآباد ($0/76\text{‰}$ تا $0/77\text{‰}$) و 8° ^{18}O -SMOW ($1/59\text{‰}$ تا $1/59\text{‰}$) از 8° ^{18}O -SMOW ($21/9\text{‰}$ تا $21/9\text{‰}$) متفاوتند. کربن در کربنات‌های روشی با این نسبت شده و یشتر شیه کانسارهای غیر سولفیدی که این نسبت کاسارهای غیر سولفیدی منطقه لیک کوئیزلن ($1/3\text{C}$ -PDB) (Lake Quesnel) (Paradis et al., 2016) بریش کلمیا کاناداست. در این زمینه کاسار احمدآباد با دیگر کاسارهای کمرنده کوهبنان بهایان نیز متفاوت است. برای مثال، ترکیب ایزوتوپی کربن کاسار تپه سرخ از کاسارهای غیر سولفیدی کمرنده کوهبنان بهایان ($1/45\text{‰}$ تا $6/69\text{‰}$) نشان‌دهنده مبنی مشابه با کاسارهای غیر سولفیدی که این نسبت ($1/46\text{‰}$ تا $1/46\text{‰}$) است (Amiri, ۱۳۸۶). این مقادیر بیان کننده این نکته است که برخلاف دیگر کاسارهای غیر سولفیدی که معمولاً دو منع تأمین کننده کربن (مواد آلی) و کربن جویی دارند، سنتگ‌های کربنات‌های معمولاً تأمین کننده کربن در کربنات‌های روی منطقه احمدآباد هستند (شکل ۵ B).

مقادیر 8° ^{18}O -Hيدروزنسیت‌های کاسار احمدآباد با میانگین $+25/56\text{‰}$ در محدوده کلی کاسارهای غیر سولفید دیگر فراز مریم (شکل ۴). این مقدار نزدیک به مقدار (60‰) 8° ^{18}O -SMOW در اسیت‌سوئیت‌های کاسار غیر سولفیدی منطقه Silesia-Cracow (Coppola et al., 2009) در جنوب لهستان (Iglesiente et al., 2008) در جنوب خاوری Sardinia (Bonni et al., 2003) است. این مقادیر ممکن است بیان کننده افزایش نسبی دما و یا تأثیر آبهایی که سبب اکسایش شده‌اند بر مراحل تشکیل هیدروزنسیت باشد (Ahn, 2010). در صورت در دسترس بودن مقادیر ایزوتوپی آب‌های جوی که نه تنظمه می‌توان دمای تشکیل کانی‌های کربنات‌های روی را با استفاده از نمودار تعادل ایزوتوپی اکسیژن میان سلسن اسیت‌سوئیت و آب به دست آورد (Gilg et al., 2008) در غیر این صورت، می‌توان از داده‌های ایزوتوپی آب‌های زیرزمینی (Dachroth and Sonntag, 1983) و یا آب‌های جوی منطقه (IAEA, 2008) استفاده کرد (Gilg et al., 2008).

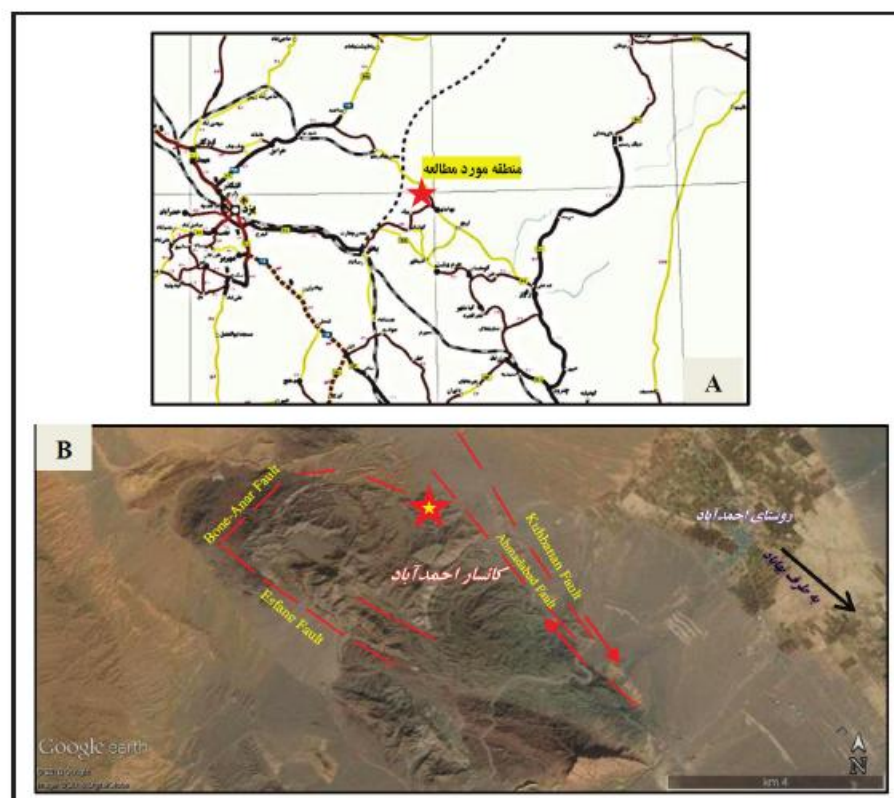
هر چند ترکیب آب‌های جوی که نه تنظمه احمدآباد و مناطق مجاور در دسترس نیست، با فرض مشابه بودن نسبت ایزوتوپی سیال‌هایی که سبب تشکیل کربنات‌های روی در منطقه شده‌اند با آب‌های امروزی، می‌توان دمای تشکیل را به دست آورد.

می دهد که سیال های باقیمانده، کمتر توسط سنگ های کربناته خشی شده اند (Egon and Epstein, 1963) فوار می گیرد (Clauer and Chauhuri, 1992). این تحولات میان دولومیت ها و کلیست می تواند نشانگر میزان تغییرات پایداری دولومیت نسبت به کلیست باشد که سب افزایش Ca/Mg و یا کاهش دمای سیال شده است (Land, 1985). این روند کاهش دما توسط مطالعات میانوارهای سیال نیز تأیید شده است. میانگین دمای همگن شدگی به دست آمده در مطالعات میانوارهای سیال برای کانی کلیست ۸۲ درجه سانتی گراد بوده (امانی لاری, ۱۳۹۵)، این در حالی است که میانگین دمای سیال های تشکیل دهنده دولومیت های سازند شتری در منطقه کوهستان راور برابر با ۱۰۹ درجه سانتی گراد گزارش شده است (کریم زاده و آدابی, ۱۳۸۷).

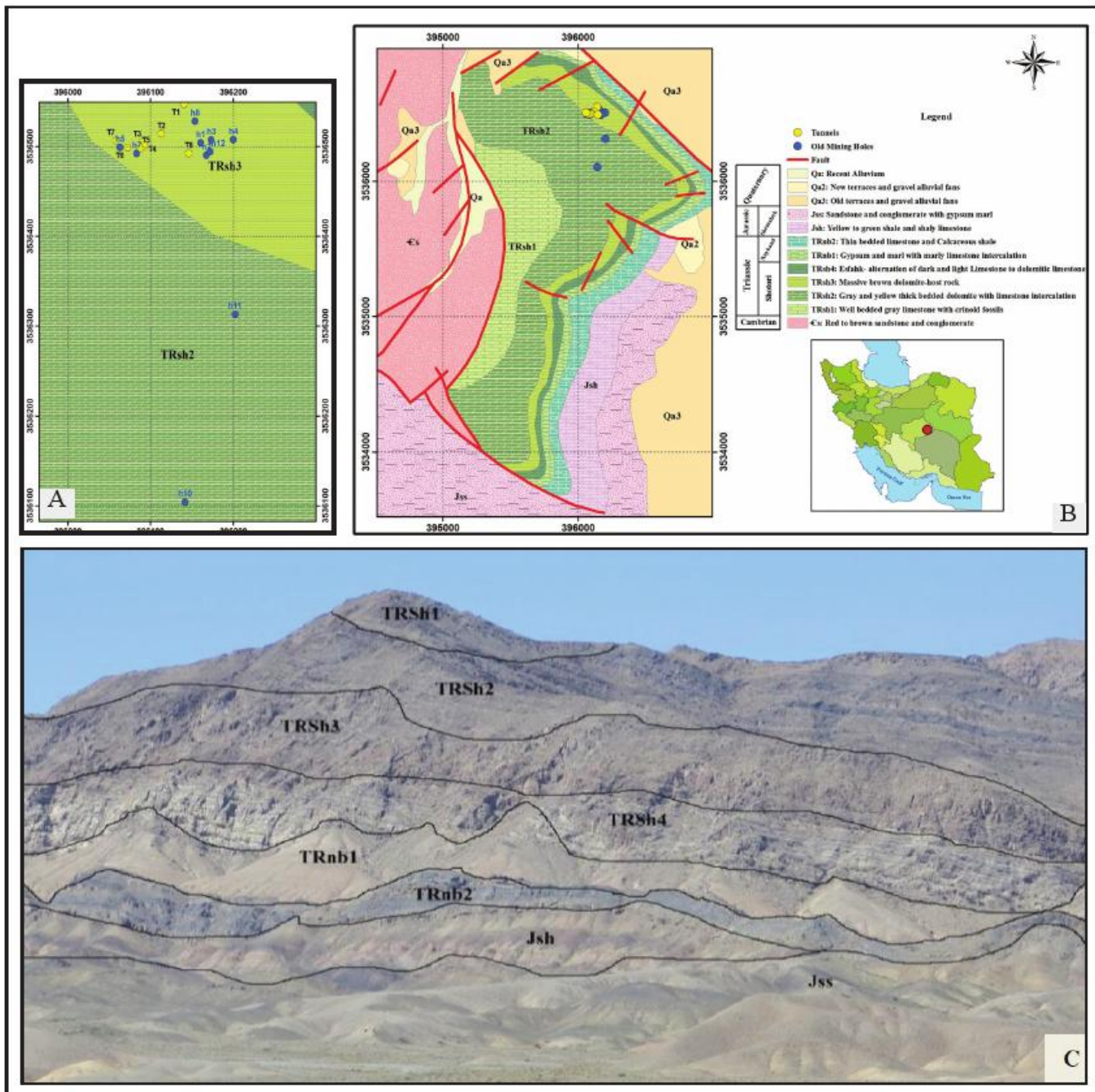
۶- نقشه گیوئی

کانه زایی روی و سرب (مولیدن) در دو مرحله سولفیدی و غیرسولفیدی کاملاً مشخص در منطقه رخ داده است. عرکیات ایزوتوپی کربن رگه کوارتزی کلیستی در سنگ میزان در دامنه کربن های گرمابی و سنگ میزان در محدوده کربن های دریابی فوار دارد. داده های ایزوتوپی کربن هیدروزنسیت مشخص کرد که تها منع تعذیه کننده برای این کانی سنگ های کربناتی تشکیل شده اند. داده های ایزوتوپ اکسیژن نیز نشان داد که هیدروزنسیت های کاسار احمدآباد در دمای میان ۱۴ تا ۴۴ با میانگین ۲۹ درجه سانتی گراد تشکیل شده اند. این دما کمی بیشتر از دمای به دست آمده برای دیگر کربنات های روی در دیگر کاسارهای غیرسولفید جهان گزارش شده توسط Gilge et al. (2008) است که می تواند تحت تأثیر فرایند گرمایی اکسایش هرمزان سولفیدها باشد. چیره بودن کانی هیدروزنسیت در کاستنگ غیرسولفیدی روی و نبود اسیت سوتیت پایانگر پایین بودن نرخ $\delta^{34}\text{S}$ در منطقه است. ترکیب اکسیژن دولومیت ها مشابه آمیختگی آب های ماقمایی و دریابی است. با توجه به پیروی کاسار از روند حصومی چینه شناسی منطقه و همچین محدود بودن به سنگ های زمان تریاس می توان گفت کانی زایی تحت تأثیر فازهای فشارشی تریاس بالایی و پیاز لرزه ای سیال های حوضه ای به درون سنگ های میزان رخ داده است.

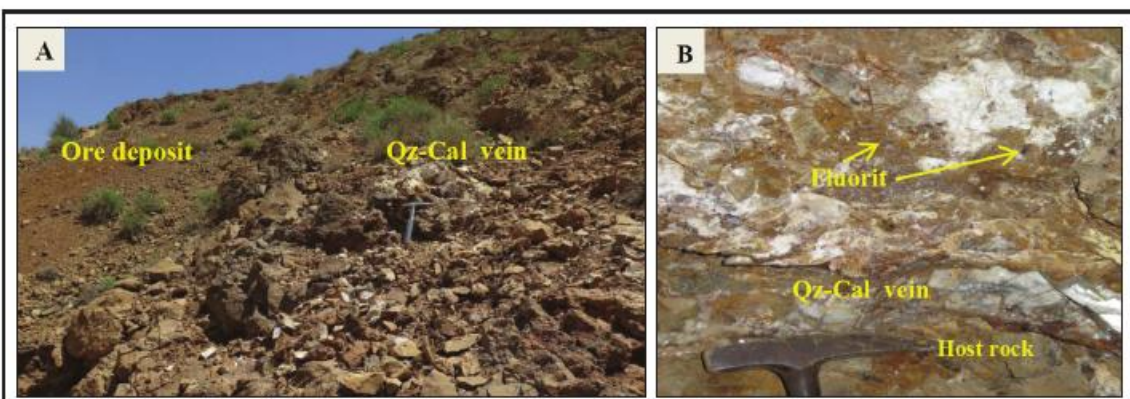
زمان تریاس (۰.۶ تا ۰.۲ میلیون سال) فوار می گیرد (Egon and Epstein, 1963) بر خلاف نرخ $\delta^{18}\text{O}$ -PBD (میانگین برابر با -5.09‰) و $\delta^{13}\text{C}$ -PBD ($+0.43\text{‰}$) مربوط به دولومیت میزان احمدآباد قابل مقایسه با دولومیت های گرمابی ($+0.96\text{‰}$: $\delta^{13}\text{C}$ -PBD تا $1/48\text{‰}$ و $\delta^{18}\text{O}$ -PBD تا $7/8\text{‰}$ ؛ $\delta^{18}\text{O}$: $9/9\text{‰}$) در دیگر مناطق جهان ارائه شده است. از سوی Boni et al. (2013) Diehl et al. (2010) و Baerstchi, 1957) دریابی زمان موزوویک نسبت به ایزوتوپ اکسیژن ۱۸ تهی شدگی نشان می دهدند و این تهی شدگی با پیشرفت زمان تقریباً ثابت باقی می ماند (Clayton and Degens, 1959; Schidlowksi et al., 1975; Veizer and Hoefs, 1976; Perry and Tan, 1972; Knauth and Epstein, 1976; Veizer et al., 1997) از آنجا که $\delta^{18}\text{O}$ به شدت متاثر از دماسه؛ بالاتر بودن $\delta^{18}\text{O}$ دولومیت های احمدآباد نسبت به کاسارهای دیگر جهان مانند جبلی (یمن) و سلیسا کروکو (جنوب لهستان)، یانگر این مطلب است که دولومیت های میزان کاسار احمدآباد در شرایط دمایی بالاتر تشکیل شده اند (شکل ۶B). همان گونه که مشخص است، دولومیت های میزان در مقایسه با مقادیر رگه کوارتزی کلیستی، مقدار بالاتری $\delta^{13}\text{C}$ -PBD و $\delta^{18}\text{O}$ -SMOW دارند. این امر می تواند نشان دهنده این مطلب باشد که رگه مرتبط با سیال هایی متفاوت، اما در حال تعادل با سامانه دولومیت ها به وجود آمده است. با توجه به مشت بودن مقادیر ایزوتوپی اکسیژن می توان گفت آب های جوی در سیال های تشکیل دهنده دولومیت نقشی نداشته اند؛ هر که آب های جوی به شدت از اکسیژن ۱۸ تهی شده اند و مقادیر منفی بالایی دارند (Tornos and Sprio, 2000). سیال های گرمایی با دمای بالا که از درون گسل های ژرف وارد حوضه شده اند با آب های حوضه ای مخلوط شده اند. این فرایند در تشکیل دولومیت ها بسیار مؤثر بوده است. نسودار ۶B نیز تأیید می کند که آب هایی که دولومیت ها از آنها نهشین شده اند، به طور بخشی با آب های ماقمایی هم بوشانی دارند. نسودار ۶A گویای این مطلب است که رگه کلیستی از سیال هایی تهشین شده است که از دید ژئوشیمیابی در تعادل با دولومیت ها بوده اند. کلیست رگه ای از سامانه های مشابه دولومیت که پس از دولومیتی شدن سردتر و نسبت به کلیست و سدیم غنی تر شده اند، تشکیل شده است. مقادیر پایین $\delta^{13}\text{C}$ در رگه کلیستی نسبت به سنگ های دولومیتی نشان



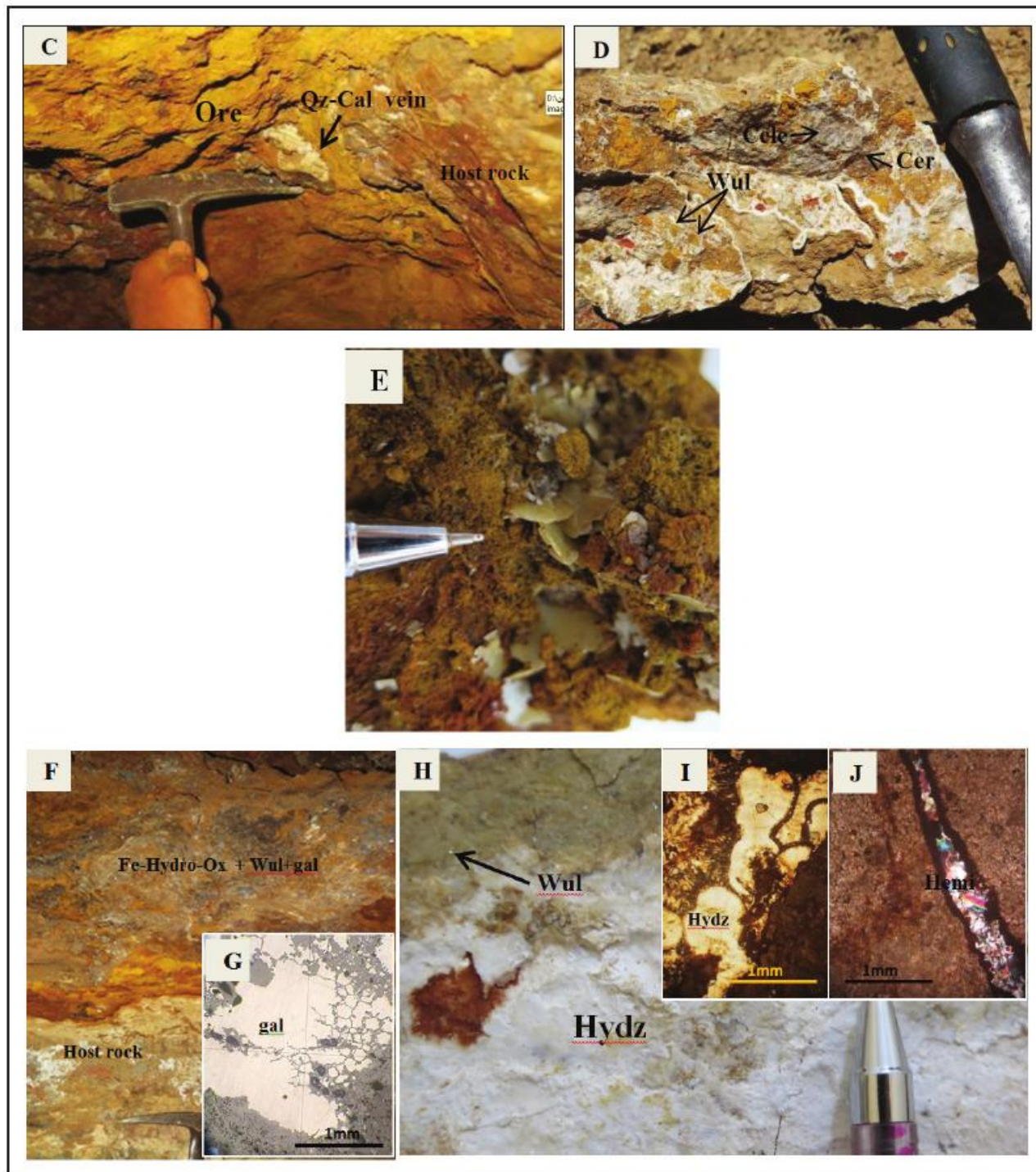
شکل ۱- (A) راه های ارتباطی با منطقه مورد مطالعه (B) موقعیت کاسار احمدآباد در بلوک کلی احمدآباد-ینه انان-اسفنگ.



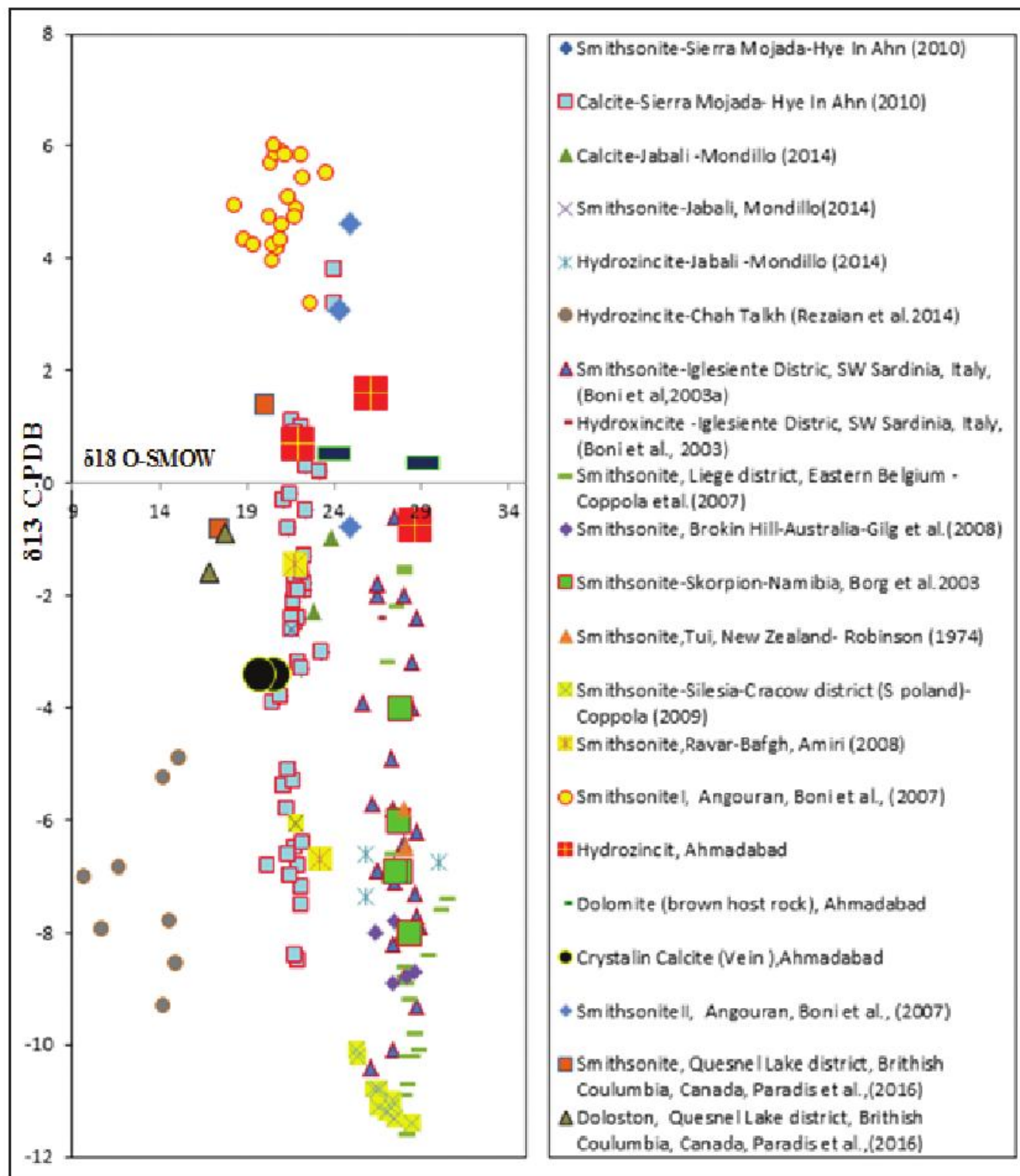
شکل ۲-۲ (A) موقعیت حفره‌ها و تولیدهای معدنی؛ (B) نقشه زمین‌شناسی منطقه معدنی (برگرفته از جوانشیر و همکاران، ۱۴۸۶ با تغییرات)؛ (C) واحدهای چینه‌شناسی منطقه.



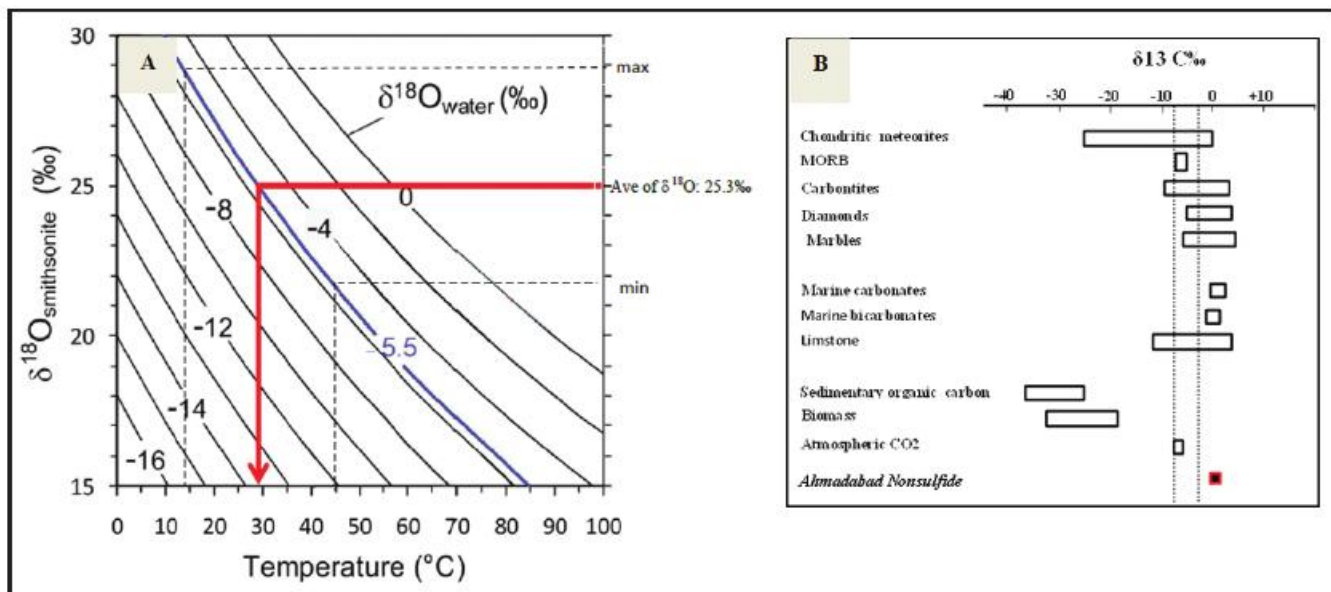
شکل ۳-۳ (A) موقعیت قراگیری توده معدنی نسبت به رخمنون رگه کلیه‌ی؛ (B) رگه کوارتزی-کلیه‌ی همراه با کانی‌های فلوریت؛



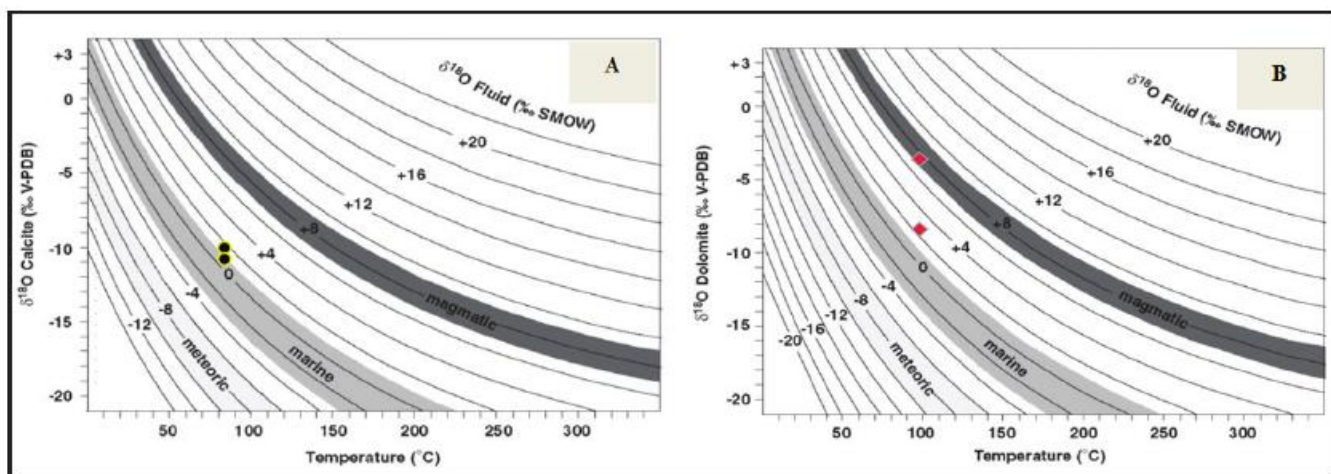
شکل ۳-۳) نسبت به سنگ میزبان دولومیتی - تونل T۲، (D) ولفیت، سروزیت و سلینین در کانسگ غیرسولفیدی؛ (E) کانی های دانه درشت و لفنتیت به همراه کانسگ غیرسولفید روی؛ (F) رگه معدنی اکسید شده به همراه بقایای کانی سولفیدی گالن؛ (G) مقطع میکروسکوپی کانسگ غیرسولفید حاوی گالن؛ گالن ها تحت تأثیر زمین ساخت دچار خردشده اند، تونل T۴، (H) کالامین (هیدروزنیت) به همراه دانه های ریز ولفیت، شناسایی صحرابی کربنات های روی از طریق تغییر رنگ تحت تأثیر محلول زینک-زپ (zinc zap)، تونل T۶، (I) مقطع میکروسکوپی هیدروزنیت و (J) مقطع میکروسکوپی همی مورفتیت



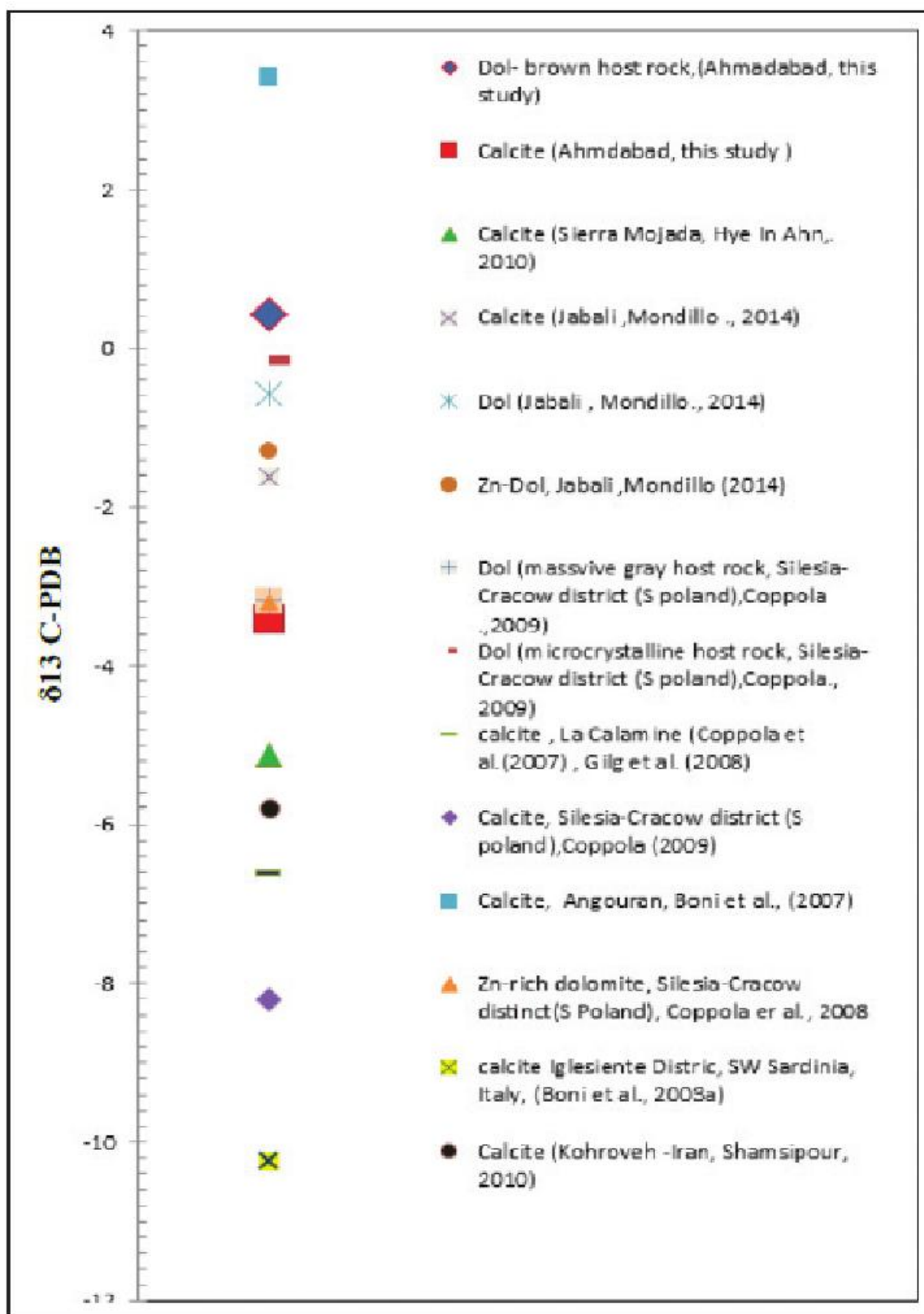
شکل ۴- مقایسه مقادیر ایزوتوب کربن و اکسیژن هیدروزنسیت، کلسیت و دولومیت کانسار احمدآباد با برخی از کانسارهای غیر‌سولفید روی- سرب مطالعه شده در جهان.



شکل ۵-۵ (A) نمودار منحنی های تشكیل ایزوتوبی اکسیژن ۱۸ میان آب و اسیت سونیت (هیدروزنسیت) (Gilg et al., 2008) (B) دامنه تغییرات ایزوتوبی کربن ۱۳ در کانسنج کربناته روی احمدآباد در مناج موجود (Kerridge, 1985) (Field and Fifarek, 1986; Hoefs, 2004)



شکل ۶-۶ (A) تعیین نوع آب هایی که رگه کوارتزی- کلیتی احمدآباد از آن رسوب کرده است با استفاده از دما و ترکیب ایزوتوبی اکسیژن ۱۸ (B) ترکیب ایزوتوبی اکسیژن آب های در حال تعادل با رسوبات دولومیت، این آب ها ترکیب میان آب های ماقعه ای و دریاچی را نشان می دهند (نمودارها از Gasparrini et al., 2006)



شکل ۷- مقایسه داده های ایزوتوبی کربن منتشر شده مربوط به کانسار های غیر سولفیدی در جهان با مقادیر ایزوتوبی کربن کانسار احمدآباد (Robinson, 1974; Shamsipour Dehkordi, et al., 2011; Rezaeian et al., 2013)

جدول ۱- ترکیب ایزوتوپیه کربن و اکسیژن در نمونه های کربناته کاسار احمدآباد.

شرح	$\delta^{18}\text{O}$ - SMOW‰	$\delta^{18}\text{O}$ - PDB‰	$\delta^{13}\text{C}$ - PDB‰	شماره فعوفه
د.لومیت نودهای قوهای (واحد میزان)	+28/2	-2/62	-0/85	Ah-B-12
د.لومیت نودهای قوهای (واحد میزان)	+23/1	-7/87	-0/02	Ah-B-12
هیدر.زنست	+28/7	-2/14	-0/76	Ah-T6-Dp-3
هیدر.زنست	+21/9	-8/83	-0/71	Ah-T7-Dp-4
هیدر.زنست	+26/1	-4/66	1/09	Ah-T7- 8
رگه کوارتزی- کلیستی	+20/6	-9/99	-2/42	Ah-T3-D44-1c
رگه کوارتزی- کلیستی	+19/8	-10/77	-2/43	Ah-T3-D44-19

کتابنگاری

- امانی لاری، س.، ۱۴۰۵- کارشناسی و زئز کاسار روی- سرب (مولیدن) احمدآباد (شمال خاور بافق)، رساله دکترا، دانشگاه آزاد اسلامی، واحد تهران شمال.
 امیری، ع. و رسا، ا.، ۱۳۸۵- بررسی ویژگی های زمین شناسی کاسارهای استراتیباند غیرسولفیدی روی و سرب در ناحیه کوهبنان- بهاباد، نصلنامه زمین شناسی کاربردی، دانشگاه آزاد اسلامی واحد زاهدان، سال دوم، شماره اول، صص. ۱-۹.
- امیری، ع.، ۱۳۸۶- مطالعه ویژگی های زمین شناسی، زلوزیمیابی و زئز کاسارهای روی و سرب با سنگ میزان کربناته در ناحیه راور- بافق، رساله دکترا، دانشگاه آزاد اسلامی واحد علوم و تحقیقات.
 امیری، ع.، رسا، ا.، حاکزاد، ا. و آدابی، م.ح.، ۱۳۸۸- دماسنجهی و مدل تشکیل کاسارهای روی و سرب با سنگ میزان کربناته در ناحیه راور- بافق بر بنای ایزوتوپ های پایدار گوگرد، مجله علوم زمین، شماره ۷۷، صص. ۳-۱۰.
- جوانشیر، ع.، راستاد، ا. و رباني، ا.ر.، ۱۳۸۶- رخساره های کانه دار روی- سرب (مولیدن) احمدآباد، شمال خاور بافق و مقایسه آن با کاسار بلایبرگ (Bleiberg) در آلب، نصلنامه علوم زمین، شماره ۷۱، صص. ۸۰-۱۶۹.
- کریمیزاده، ف. و آدابی، م.ح.، ۱۳۸۷- توصیف انواع دولومیت در سازند شتری (محدوده کوهبنان) بر اساس مطالعات سنگ شناسی و زمین شیمیابی، یا نگرشی بر نشانه های سازند سرخ شل در تأمین یون میزیم، نصلنامه علمی- پژوهشی علوم زمین، سال ۱۸، شماره ۶۹، صص. ۱۱۰-۱۲۹.
- کمالی فرج الدزاده، ع.، ۱۳۸۳- تحلیل هندسی و جنبشی گل کوهبنان (حد فاصل چهروود- کوهبنان)، پایان نامه کارشناسی ارشد، علوم پایه، دانشگاه تربیت مدرس.

References

- Ahn, H. I., 2010- Mineralogyand Geochemistry of the Non-sulfide Zn Deposits in the Sierra Mojada district, Coahailo, Mexico. Published thesis , University of Texas at Austin, 179 p.
- Baerstchi, P., 1957- Messung und Deutung relativer Häufigkeitvariationen von O18 and C13 in Karbonatgesteinen and Mineralien. Schweiz. Mineral. Petrogr. Mitt. 37, 73-152.
- Boni, M. and Large, D., 2003- Non-sulfide Zinc mineralization in Europe: an overview. Economic Geology 98, 715-729.
- Boni, M., Gilg, H. A., Aversa, G. and Balassone, G., 2003- The "Caldamine" of SW Sardinia (Italy): geology, mineralogy nd stable isotope geochemistry of the a supergene Zn-mineralization: Economic Geology, v.98, p. 731-748.
- Boni, M., Gilg, H. A., Balassone, G., Schneider, J., Cameron, R. and Moore, F., 2007- Hypogen Zn Carbonate ores in the Angouran deposit,NW Iran. , Mineral deposita, DOI 10.1007/s00126-007-0144-4.
- Boni, M., Mondillo, N., Balassone, G., Joachimski, M. and Colella, A., 2013- Zincian dolomite related tosupergene alteration in the Iglesias mining district (SW Sardinia): International Journal of Earth Sciences (Geol. Rundsch.), v. 102, p.61-71.
- Borg, G., 2009- The role of fault structures and deep oxidation in supergene base metal deposits. In; Titley, S.R (Ed.), Supergene Environments, Processes and Products, Econ. Geol, Spec. Publ 14, pp, 121-132.
- Bowen G., J. and Revenaugh, J., 2003, Interpolating the isotopic composition of modern meteoric precipitation. WATER RE SOURCES RESEARCH, vol., 39, NO. 1299.
- Clauer, N. and Chaudhuri, S., 1992- Isotopic Signatures if Sedimentary Rocks. Lecture Notes in Earth Sciences, v.43. Springer, Berlin, 529pp.
- Clayton, R. M. and Deges, E. T., 1959- Use of C isotope analyses for differentiating fresh-water and marinesediments. AAPG Bull.42, 890-897.
- Coppola, V., Boni, M. and Gilg, H. A., 2009- Nonsulfide zinc in the Silesia-Cracow district, Southern Poland, Mineral Deposita, 44:559-580
- Dachroth, W. and Sonntag, C., 1983- Grundwasserneubildung und Isotopendatierung in Sudwesafrika / Nambia. Zeitschrift der Deutschen Geologischen Gesellschaft 134, 1013-1041.
- Dachroth, W. and Sonntage, C., 1983- Grundwassermeebildung und Isotopendatierung in Sudwestafrika/ Nambia. Zeitschrift der Deutschen Geologischen Gesellschaft 134, 1023-104.

- Diehl, S. F., Hofstra, A. H., Koenig, A. E., Emsbo, P., Christiansen, W. and Johnson, C., 2010- Hydrothermal zebra dolomite in the Great Basin, Nevada – attributes and relation to Paleozoic stratigraphy, tectonics, and ore deposits: *Geosphere*, v.6, p. 663-690.
- Egon, T. D. and Epstein, S., 1963- Oxygen and Carbon isotope ratios in coexisting calcites and dolomites from recent and ancient sediments. *Geochimica et Cosmochimica Acta*, 1964, Vol.28, pp. 23 to 44. Pergamon Ltd. Printed in Northern Ireland.
- Field, C. W and Fifarek, R. H., 1986- Light stable isotope systematics in the epithermal environments . In: B. R. Berger and P.M. Bethke (eds.) *Geology and geochemistry of epithermal systems*. Soc. Econ. Geol., Rev. Economic Geology, vol.2, 99-128.
- Gasparini, M., Bechstadt, T., Boni, M., 2006- Massive hydrothermal dolomites in the southwestern Cantabrian Zone(Spain) and their relation to the Late Variscan evolution. *Marine and Petroleum Geology* 23: 543-568.
- Gilg, H. A. and Boni, M., 2004- Stable isotope composition on Zn and Pb carbonates; their Role in exploration of non-sulphide ores, in M. Boni, ed., Publication- Geology Department and Extension Service, University of Western Australia, Australia, University of Western Australia, Geology Department and Extension Service: Perth, East Aust., Australia, p. 361-365.erlag, 5th edition, 244p.
- Gilg, H. A., Boni, M., Hochleitner, R. and Struck, U., 2008- Stable isotope geochemistry of carbonate minerals in supergene oxidation zones of Zn-Pb deposits: *Ore Geology Reviews*, v.33, p. 117-133.
- Gilg, H. A., Struck, U., Vennemann, T. and Boni, M., 2003- Phosphoric acid fractionation factors for smithsonite and cerussite between 25 and 72°: *Geochimica et Cosmochimica Acta*, v. 67,p. 4049-4055.
- Hitzman, M. W., Reynolds, N. A., Sangster, D. F., Allen, C. R. and Carman, C. E., 2003- Classification, genesis, and exploration guides for nonsulfide Zinc deposits: *Economic Geology*, v.98, p. 685-714.
- Hoefs, J., 2004- Stable isotope geochemistry, 5th edition, Springer velag, Berlin, pp: 244.
- IAEA, 2008- Isotope Hydrology Information System. The ISOHIS Database. Accessible at: <http://isohis.iaea.org>
- Kerridge, J. F., 1985- Carbon, Hydrogen and nitrogen in carbonaceous chondrites: abundances and isotope compositions in bulk samples. *Geochim. Cosmochim Acta*, Vol.49: 1707-1714.
- Knauth, L.P. and Epstein, S., 1976- Hydrogen and oxygen isotope ration in nodular and bedded cherts. *Geochim. Cosmochim. Acta* 40,1095-1108.
- Land, L. S., 1985- The origin of massive dolomite. *Journal of Geological Education* 33, 112-125.
- Large, D., 2001- The geology of non-sulfide zinc deposits- an overview. *Erzmetall* 54, 264-276.
- Levresse, G., Gonzalez-Partida, E., Tritalla, J., Camprubl, A., Cienfuegos-Alvarado, E. and Morales-Puente, P., 2003- Fluid characteristics if the word-class, carbonate-hosted Las Cuevas fluorite deposit (San Luis Potosi, Mexico), *Journal of geochemical Exploration* 78-79, 537-543.
- Mondillo, N., 2014- Supergen Nonsulfide Zinc-Lead Deposits: The Examples og Jaballi (Yaman) and Yanque (Peru), DOCTORAL THESIS in ECONOMIC GEOLOGY, University Digital Studi di Napoel "FEDRICII", School in Earth Science, 185 p.
- Paradis, S., Simandl, G. J., Keevil, S. H. and Raudsepp, M., 2016- Carbonate-Hosted Nonsulfide Pb-Zn Deposits of the Quesnel Lake District, British Columbia, Canada, www.10.2113/econgeo.111.1.179.
- Perry, E. C. and Tan, F. C., 1972- Significance of oxygen ad carbon isotope variations in early Precambrian cherts and carbonate rock of southern Africa. *Geol. Soc. Am. Bull.* 83, 647-664.
- Rezaeian, A., Rasa, I., Amiri, A. and Jafari, M. R., 2013- Geochemistry of Oxygen and Carbon Stable Isotopes in Non Sulfide Zn-Pb Deposits, Case Study: Chah-Talkh non-Sulfide Zn-Pb Deposit (sirjan-South of Iran), *World Applied Sciences Journal* 24(9): 1163-1171
- Robinson, B. W., 1974- The origin of mineralization at Tui mie,Te Aroha, New Zealand, in the light of stable isotope studies. *Economic Geology* 69, 910-925.
- Schidlowski, M., Eichmann, R. and Junge, C. E., 1975- Precambrian sedimentary carbonates: carbon and oxygen isotope geochemistry and implications for the terrestrial oxygen budget. *Precambrian Res.* 2, 1-69.
- Shamsipour Dehkordi, R., Kermani, N. and Bagheri, H., 2011- Geothermometric and Isotopic Studies of Kohroyeh PbOre deposit(SW Shahreza), *Petrology*,1st Year, No. 4, p: 35-44.
- Tornos, F. and Sprio, B. F., 2000- The geology and isotope geochemistry of the talc deposits of Puebla de Lillo (Cantabrian Zone, northern Spain). *Economic Geology* 95, 1277-1296.
- Veizer, J. and Hoefs, J., 1976- The nature of $^{18}\text{O}/^{16}\text{O}$ and $^{13}\text{C}/^{12}\text{C}$ secular trends in sedimentary rocks. *Geochim. Cosmochim. Acta* 40, 1387-1395.
- Veizer, J., Bruckschen, P., Pawellek, F., Diener, A., Podlaha, O. G., Carden, G. A. F., Jasper, T., Korte, C., Strauss, H., Azmy, K. and Ala, D., 1997-Oxygen isotope evolution of Phanerozoic seawater, *Paleogeography,Palaeoclimatology, Paleoecology*. 132. 159-172.

Stable C-O isotopes geochemistry of Ahmadabad Zn-Pb-Mo non-sulfide deposit (NW Bahabad)

S. Amani Lari^{1*}, L. Rassat² and A. Amiri³

¹Ph.D. Student, Geology Department, North Tehran Branch, Islamic Azad University, Tehran; Farhangian University, Tehran, Iran

²Professor, Geology Department, Earth Science Faculty, Shahid Beheshti University; Geology Department, North Tehran Branch, Islamic Azad University, Tehran, Iran

³Assistant Professor, Geology Department, Zarand Branch, Islamic Azad University, Zarand, Iran

Received: 2016 April 04 Accepted: 2016 August 27

Abstract

Ahmadabad Zn-Pb deposit is one of the Pb-Zn deposits in the Kouhbanan-Bahabad metolloogeny Belt, which is located 10th Km northwest of Bahabad City in the Posht-Badam Block in Central Iran Zone. Ore deposits consist of Zn, Pb, Mo and Sr non-sulfide minerals with large amount of Fe oxide-hydroxide minerals occurred in dolomitic host rock of the Shotori Formation. A quartz-calcite vein accompanies ores in the host rock. This study is focused on C-O isotopic variation in the host rock, quartz-calcite vein and hydrozincite. Isotopic variation of C indicates that the source of carbon is different in the host rock and quartz-calcite vein. The most important source of carbon for hydrozincite formation was carbonate rocks of the area and regarding this aspect this deposit is different from others Zn-Pb non-sulfide deposits that studied in the world. According to oxygen isotopic variation, the temperature for hydrozincite formation was between 14-44°C. The oxygen isotopic variation suggests marine basin water as the source of quartz-calcite vein. The dolomitic host rock was formed in equilibrium with fluids of a mixture of marine and magmatic waters, based on oxygen isotopic variation.

Keywords: Carbon- oxygen isotopes, Zn-Pb-Mo non-sulfide deposit, Ahmadabad deposit.

For Persian Version see pages 73 to 82

*Corresponding author: S. Amani Lari; E-mail: sara.amanilari@yahoo.com